

Πρακτικά		3ου Συνέδριου		Μάϊος 1986	
Δελτ. Ελλ. Γεωλ. Εταιρ.		Τομ. XX Vol.		σελ. 281-295 pag.	Αθήνα 1988 Athens
Bull. Geol. Soc. Greece					

**ΣΥΜΠΙΕΣΤΙΚΕΣ ΠΑΡΑΜΟΡΦΩΣΕΙΣ ΣΤΗ ΔΥΤΙΚΗ ΕΛΛΑΔΑ
ΜΕ ΤΟΥΣ ΣΕΙΣΜΟΥΣ ΜΑΡΤΙΟΥ - ΑΠΡΙΛΙΟΥ 1983
ΤΕΚΤΟΝΙΚΑ ΚΑΙ ΣΕΙΣΜΟΛΟΓΙΚΑ ΣΤΟΙΧΕΙΑ******

Θ. ΡΟΝΤΟΓΙΑΝΝΗ*, Γ. ΚΟΥΚΗΣ**, Ν. ΔΕΛΗΜΠΑΣΗΣ***

ΣΥΝΟΨΗ

Η σεισμική δραστηριότητα Μαρτίου-Απριλίου 1983 στη Δυτική Ελλάδα (περιοχή Ακαρνανίας-Λευκάδας) με σεισμούς μικρού μεγέθους ($M_s=5.4$ και 5.3 για τους δύο κύριους) χαρακτηρίζεται από το μικρό εστιακό βάθος (1 ± 5 km), την εντυπωσιακή για το μέγεθος των σεισμών επιφανειακή διάρρηξη και την κατανομή μεγάλων εντάσεων στη στενή περιοχή του οικισμού Σκλάβαινα.

Τα στοιχεία από τις παρατηρήσεις υπαίθρου, σε καλή συμφωνία με αυτά από την ανάλυση του μηχανισμού γένεσης των σεισμών, ερμηνεύουν το καθεστώς των τάσεων που επικρατούν και είναι υπεύθυνες για τη γεωδυναμική εξέλιξη της ευρύτερης περιοχής.

ABSTRACT

The seismic activity during March-April 1983 in Western Greece (Akarnania-Lefkas region), with earthquakes of small magnitude ($M_s=5.4$ and 5.3 respectively for the two main earthquakes), is characterised by the small focal depth (1 ± 5 km), the impressive surface rupture, and the distribution of high intensities in the area of Sklavena village.

* ΙΓΜΕ, Μεσογείων 70, Αθήνα

** Παν/μιο Πατρών, Τμήμα Γεωλογίας, Ρίο, Πάτρα

***Παν/μιο Αθήνας, Τμήμα Γεωλογίας, Παν/πολη, Αθήνα

**** COMPRESSIVE DEFORMATION IN WESTERN GREECE RELATED WITH
MARCH-APRIL 1983 EARTHQUAKES:
TECTONIC AND SEISMIC DATA

The field observations which are in good agreement with the focal mechanism solution, interpret the state of stresses existing in the broader area.

1. ΕΙΣΑΓΩΓΗ

Ο σεισμικός παροξυσμός στην περιοχή Ακαρνανίας-Λευκάδας την περίοδο Μαρτίου-Απριλίου 1983 αποδίδεται σε μια σεισμική ακολουθία που εκδηλώθηκε στη συνέχεια της μετασεισμικής σειράς του κύρου σεισμού της Κεφαλονιάς στις 17 Ιανουαρίου 1983.

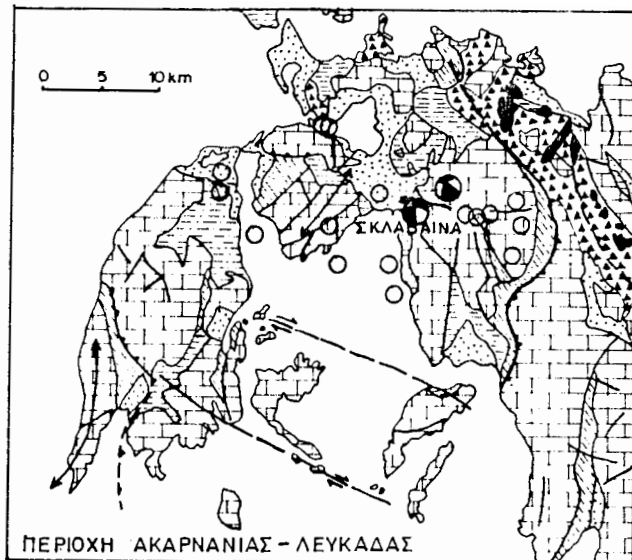
Πρόκειται για μικρού μεγέθους επιφανειακούς σεισμούς, με δύο κύρους, στις 16 Μαρτίου (21h 19 min και 41.4 sec GMT) και 23 Μαρτίου (19h 04 min και 02.23 sec GMT). Ειδικώτερα ο πρώτος χαρακτηρίζεται από μέγεθος $M_s=5.4$, εστιακό βάθος 1 ± 3 km, το δε επίκεντρό του εντοπίζεται 5 km ανατολικά της Παλαίρου και 6 km νοτιοδυτικά της Σκλάβαινας ($38^{\circ} 79B$, $20^{\circ}93A$). Ο δεύτερος, μεγέθους $M_s=5.3$ και βάθους 1 ± 5 km είχε επίκεντρο 1km περίπου ανατολικά της Παλαίρου ($38^{\circ}78B$, $20^{\circ}89A$) (Σχήμα 1). Από τους μετασεισμούς που ακολούθησαν ο μεγαλύτερος, μεγέθους $M_s=4.5$, εκδηλώθηκε την 1η Απριλίου.

Η σεισμική αυτή δραστηριότητα συνδέεται με αξιοσημείωτη επιφανειακή διάρρηξη σε διάκριτους κλάδους, μήκους μέχρι 2 km, που επηρέασε τόσο τους χαλαρούς δόσο και τους σχηματισμούς του υποβάθρου, παρατηρήθηκε δε για πρώτη φορά στη Δυτική Ελλάδα με σεισμούς τέτοιου μεγέθους. Επίσης, η διαμόρφωση των σεισμικών εντάσεων περιορίστηκε βασικά στη στενή περιοχή του χωριού Σκλάβαινα με σημαντικές καταστροφές στις κατασκευές (VII βαθμοί της τροποποιημένης κλίμακας Mercalli) και δευτερογενή φαινόμενα (π.χ. καταπτώσεις βράχων) ενώ ήταν σοβαρά εξασθενημένη στους γύρω οικισμούς Μοναστηράκι, Πάλαιρο και Στενό.

2. ΓΕΩΛΟΓΙΚΗ ΔΟΜΗ-ΤΕΚΤΟΝΙΚΗ

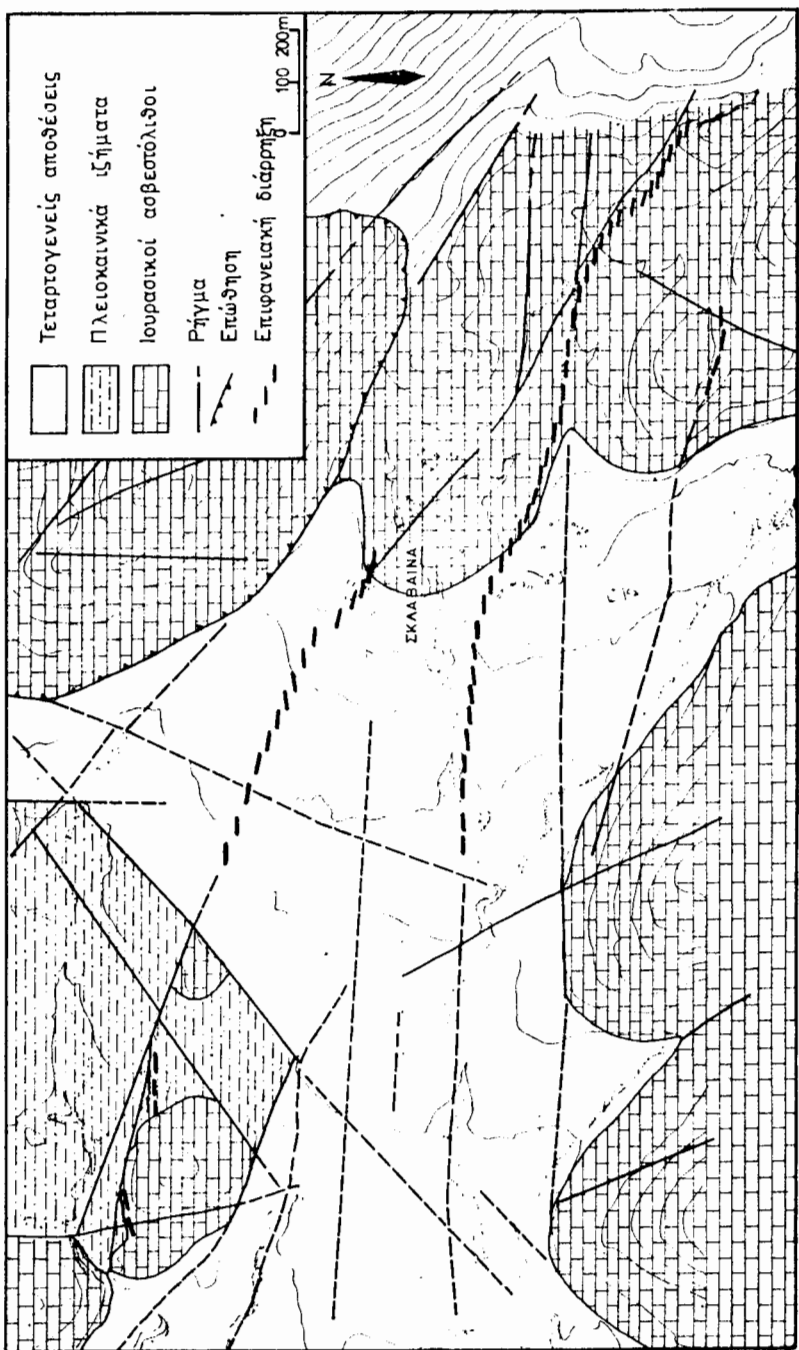
Η στενή περιοχή που εξετάστηκε, δομείται από ασβεστόλιθους 'Άνω Τριαδικής - Κάτω Ιουρασικής ηλικίας της Ιονίου ζώνης και μεταλπικά ιζήματα.

Οι ασβεστόλιθοι είναι μέσο-παχυστρωματώδεις, ανοικτότεφροι, μικροκρυσταλλικοί, κατά θέσεις λατυποπαγείς και χαρακτηρίζονται από πυκνή και πολυσχιδή διάρρηξη και έντονη αποκάρστωση. Στο ΒΑ/ΚΔ τμήμα διακρίνεται επωθημένος ασβεστολιθικός δύκος από τους 1-



- [Dotted pattern] Άλλουβιακές αποθέσεις.
- [White square] Πλειοχαινικά ιεζήματα.
- [Hatched pattern] Μειοχαινικά ιεζήματα.
- [Cross-hatched pattern] Θλύσηγις.
- [Square with cross] Ασβεστόλιθοι Τριαδικού-Ηώκαινου.
- [Square with triangles] Τριαδικά λατυποπαγή.
- [Cloud-like symbol] Τριαδική γύψος.
- -- Κανονικό ρήγμα.
- -- Ρήγμα οριζόντιας μετατόπισης.
- ▲-- Επώθηση.
- Άξονας αντικλίνου:
- Επίκεντρα σεισμών
- Μηχανισμός γένεσης

Εικ.1 Γεωλογικός χάρτης της περιοχής Ακαρνανίας-Λευκάδας
Geological map of Akarnania-Lefkas region



Εικ. 2 Χάρτης επιφανειακών διαρρήξεων
Map of surface ruptures

διους ασβεστόλιθους, που δημιουργεί προς τη νότια πλευρά (χωριό Σκλάβαινα) απότομα πρανή (Σχήμα 2).

Από τους νεώτερους σχηματισμούς επικρατούν στους βαθύτερους ορίζοντες τα λιμναία ιζήματα του Πλειόκαλνου, από μάργες, μαργαλούς ασβεστόλιθους, ιλείς, ψαμμίτες και κροκαλοπαγή. Αυτοί καλύπτονται από σύγχρονες και πρόσφατες αποθέσεις. Αναλυτικώτερα, στο βύθισμα δυτικά του οικισμού, τόσο τα νεογενή δύο και οι ασβεστόλιθοι του υπόβαθρου καλύπτονται με μέτρια συνεκτικά κροκαλοπαγή, που εναλλάσσονται με ορίζοντες από αργιλοαμμώδη υλικά ερυθροκάστανου χρώματος, πάχους μεγαλύτερου από 20μ. στην ευρύτερη περιοχή. Τέλος, οι χαμηλές περιοχές καταλαμβάνονται από σημαντικού πάχους αλλούβιακές αποθέσεις, κυρίως λεπτομερείς, με μικρό ποσοστό λατυπών.

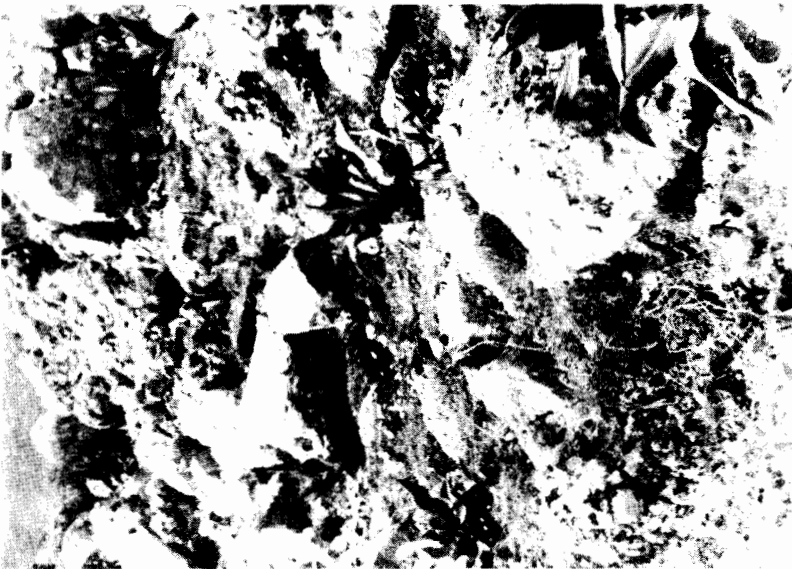
Σχετικά με το μορφολογικό ανάγλυφο, σημειώνεται ότι επικρατούν γενικά οι μακροδομές με διεύθυνση ΒΒΔ-ΝΝΑ, που στη στενή περιοχή διακόπτονται, λόγω της διαμόρφωσης μικρού βυθίσματος, διεύθυνσης περίπου Α-Δ. Το υδρογραφικό δίκτυο ακολουθεί ανάλογες διευθύνσεις με κύρια την Α-Δ στα δύο της λεκάνης, χωρίς βέβαια να είναι έντονο, λόγω της φύσης των ιζημάτων.

Ολόκληρη η περιοχή της Αιτωλοακαρνανίας είναι έντονα τεκτονισμένη, με κύριο χαρακτηριστικό τις επωθήσεις διεύθυνσης ΒΒΔ-ΝΝΑ. Ιδιαίτερα αναφέρεται ότι το μέτωπο της σημαντικώτερης επώθησης εντοπίζεται ανατολικώτερα της περιοχής που μελετήθηκε. Τα ρήγματα που έχουν επηρεάσει την περιοχή είναι κανονικά ή ανάστροφα καθώς και ρήγματα με έντονη οριζόντια ολίσθηση και αριστερόστροφη κίνηση (Σχήμα 1).

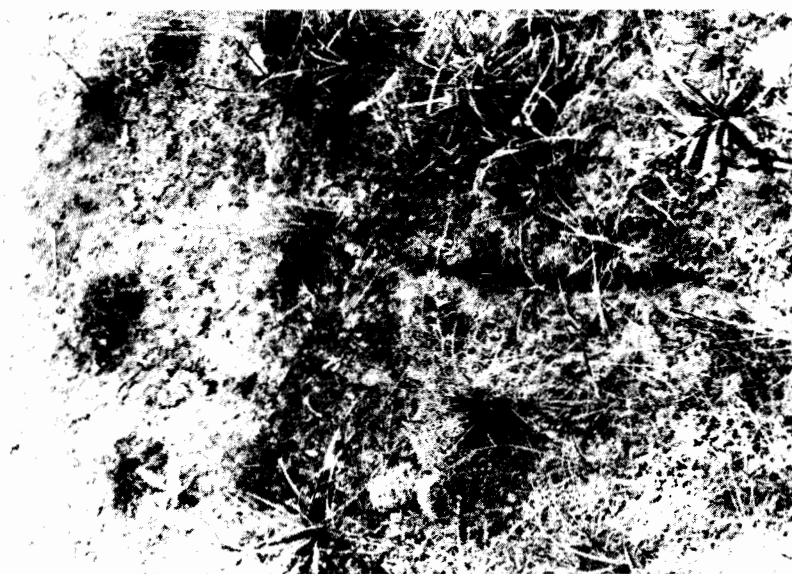
Το βύθισμα του οικισμού Σκλάβαινα έχει διαμορφωθεί από τη δράση ρηγμάτων, διεύθυνσης Α-Δ περίπου. Αυτά διακρίνονται στους ορεινούς δύκους δυτικά του οικισμού (νότιο περιθώριο), χωρίς να λείπουν τα ρήγματα και μέσα στο βύθισμα, με μικρότερη κατακόρυφη μετακίνηση. ΝΑ/κά του οικισμού επικρατούν οι τεκτονικές γραμμές με γενική διεύθυνση ΒΔ-ΝΑ.

3. ΕΠΙΦΑΝΕΙΑΚΗ ΔΙΑΡΡΗΞΗ

Οι εδαφικές διαρρήξεις που αποτέλεσαν το πιο εντυπωσιακό χαρακτηριστικό του σεισμού, χαρτογραφήθηκαν σε κλίμακα 1:5.000 (Σχήμα 2). Η μελέτη και ανάλυση των στοιχείων που συγκεντρώθηκαν βοηθούν στο χαρακτηρισμό των ρηγμάτων που έδρασαν, τον προσδιορισμό της φοράς της κίνησης και το σημαντικώτερο, επιβεβαιώ-



Φωτ. 6.: Τμήμα της εδαφικής διάρροπεις σε πρόσωφας αποθέσεις.
Διακρίνεται η κλυμακωτή διάταξη των βαγμάνων κατ' ορι-
στεόστρωψη κίνησή τους.



Φωτ. 7.: Τμήμα της εδαφικής διάρροπεις που έχει επηρεάσει λόφο
με ασβεστολιθικά πετρώματα, ΝΑ/κά της Σκλάβανας.

νουν το καθεστώς των τάσεων που δρούν στην περιοχή όπως είναι γνωστό από σεισμολογικά δεδομένα (Drakopoulos and Delibasis, 1974).

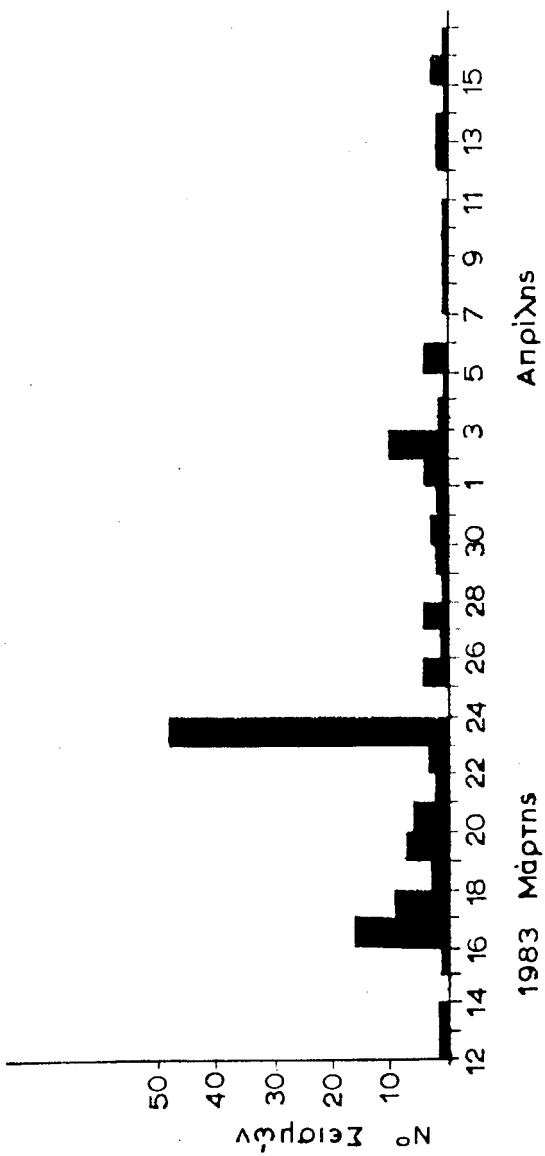
Αναλυτικότερα, οι επιφανειακές διαρρήξεις σημειώθηκαν κατά μήκος προϋπαρχόντων νεοτεκτονικών ρηγμάτων που ενεργοποιήθηκαν και ανέδρασαν με το σεισμό. Πρόκειται για δύο κυρίους κλάδους, με μήκος 1800m και 1700m και ένα δευτερεύοντα της τάξης των 350m, γενικής διεύθυνσης ΒΔΔ-ΝΑΑ που κατά θέσεις αποκλίνει προς ΒΔ-ΝΑ. Κάθε κλάδος έχει 2-3m πλάτος και κλιμακωτή διάταξη (*en echelon*) αποτελούμενος από μικρές ρωγμές μήκους 3-4m και γενικής διεύθυνσης Α-Δ, με απόκλιση 20° περίπου.

Ο βόρειος κλάδος έχει επηρεάσει τα συνεκτικά κροκαλοπαγή της Σκλάβαινας και τις χαλαρές αργιλοαμμώδεις αποθέσεις και μόνο στο ΒΑ/κό του άκρο το ασβεστολιθικό υπόβαθρο. (Φωτ. 1).

Η σχετική κλίνηση των μικρών ρωγμών που παρατηρήθηκε ήταν αριστερόδιστροφή, ενώ το άνυσμα ολίσθησης, κλίνει 0° μέχρι 25° προς Β 110°. Η μετατόπιση παράλληλα με το άνυσμα ολίσθησης ήταν μέχρι 10cm και σε μία περίπτωση έφθασε τα 15cm. Η κατακόρυφη κίνηση ήταν πολύ μικρή, μέχρι 5cm και το άνοιγμα των "en echelon" μικρών ρωγμών, κυμαίνεται μεταξύ 0 και 5cm.

Σημαντικότερος είναι ο νότιος κλάδος, γιατί εκδηλώθηκε σε μία συνεχή ζώνη και στο μεγαλύτερο μήκος τους μέσα στα ασβεστολιθικά πετρώματα. Αυτός ο κλάδος ακολουθεί επίσης προϋπάρχον ρήγμα, ορατό στους ασβεστολιθικούς όγκους, και έχει μικρή και έντονα διαβρωμένη κατοπτρική επιφάνεια. Η σχετική κίνηση είναι αριστερόδιστροφή και το άνυσμα ολίσθησης έχει κλίση 0-30° προς Β 300°. Η μετατόπιση κατά τη διεύθυνση της ολίσθησης είναι σημαντική, μέχρι 15cm, η κατακόρυφη μετακίνηση της τάξης των 2-5cm ενώ η οριζόντια φθάνει, σε μερικές περιπτώσεις, τα 8-10cm. (Φωτ. 2).

Από τα στοιχεία των διαρρήξεων που αναφέρθηκαν φαίνεται ότι πρόκειται για μια ζώνη διάτμησης (με αριστερόδιστροφη κίνηση), ένδειξη ότι η περιοχή επηρεάζεται από συμπλεστική τάση (σ_1), περίπου οριζόντια, με διεύθυνση ΒΑ/κή. Το είδος αυτό είναι παραδεκτό στα πλαίσια του γεωδυναμικού μοντέλου του Ελληνικού τόξου, σύμφωνα με το οποίο στη ζώνη των δυτικών ακτών της κεντρικής Ελλάδας, οι επικρατούσες τάσεις είναι συμπλεστικές.



Εικ. 3 Κατανομή αριθμού σεισμών στά γιαέρα
Temporal variation of the number of earthquakes per day

4. ΣΕΙΣΜΙΚΟ ΠΛΑΙΣΙΟ ΤΗΣ ΕΥΡΥΤΕΡΗΣ ΠΕΡΙΟΧΗΣ. ΑΝΑΛΥΣΗ ΚΑΙ ΑΞΙΟΛΟΓΗΣΗ ΤΩΝ ΠΡΟΣΦΑΤΩΝ ΣΕΙΣΜΙΚΩΝ ΣΤΟΙΧΕΙΩΝ-ΚΑΘΕΣΤΩΣ ΤΩΝ ΤΑΣΕΩΝ.

Στην περιοχή της Δυτικής Ελλάδας, που είναι τεκτονικά πολύ ενεργή, οι περισσότεροι σεισμοί συνοδεύονται και από μεγάλες καταστροφές. Στην περίοδο 1880-1982, έχουν καταγραφεί πολλοί μικροί σεισμοί, μερικοί από τους οποίους έγιναν αισθητοί στην περιοχή Παλαίρου-Σκλάβαινας

Η σεισμική δραστηριότητα της Ακαρνανίας δεν έχει δώσει σεισμούς με μέγεθος > 6.5. Τα μακροσεισμικά δεδομένα για την περίοδο 1800-1982 δείχνουν μια μέγιστη ένταση VII-VIII βαθμών Mercalli. Ο Μακρόπουλος (1978) χρησιμοποιώντας σεισμικά δεδομένα για την περίοδο 1900-1917, βρήκε ότι ο μεγαλύτερος σεισμός που μπορεί να συμβεί έχει μέγεθος 4,4, με μεγαλύτερη πιθανότητα ένας κάθε χρόνο.

Για τον προσδιορισμό της θέσης των επικέντρων στην περιοχή που μελετήθηκε, λήφθηκαν υπόψη όλοι οι σεισμοί που καταγράφηκαν στο Σεισμολογικό Ινστιτούτο του Αστεροσκοπείου Αθηνών, καθώς και στο Σταθμό του φράγματος Καστρακίου της ΔΕΗ, που είναι πολύ κοντά στην επικεντροκή ζώνη.

Για τις παραμέτρους των σεισμικών γεγονότων, χρησιμοποιήθηκε το πρόγραμμα του H/Y Hypo 71 και το μοντέλο ταχυτήτων "A" (για τον υπολογισμό των ταχυτήτων των κυμάτων P ο λόγος Poisson=0.25).

Πίνακας. Μοντέλο "A". Ταχύτητες P-κυμάτων (km/s) και βάθος (km).
(Δελήμπασης, Μακρής 1986).

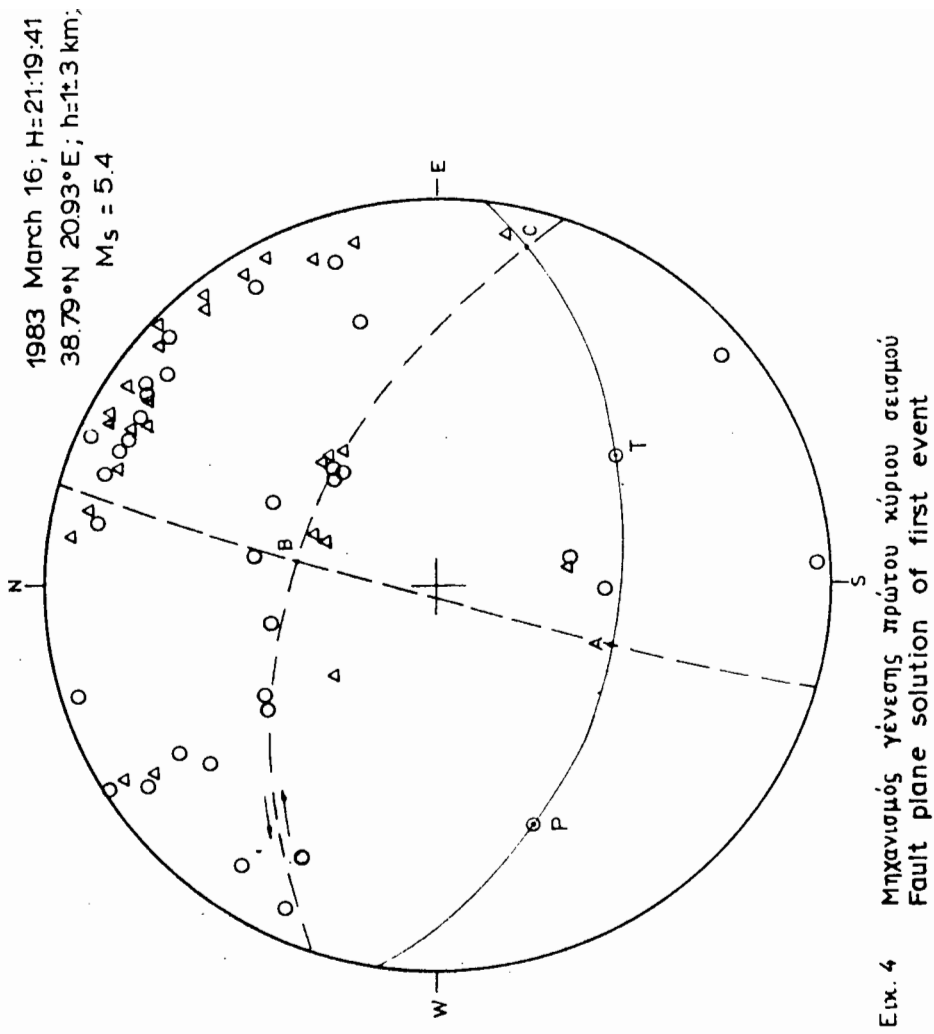
V_p (km/sec)	'Ορια στρώματος (km)
2.85	0.00
4.55	0.90
5.90	3.50
6.30	7.00
6.70	20.00
7.80	35.00

Το Σχήμα 3 δείχνει την κατανομή του αριθμού των σεισμών ανά ημέρα, κατά την περίοδο από 12 Μαρτίου μέχρι 16 Απριλίου 1983, για την περιοχή Παλαίρου-Σκλάβαινας. Παρατηρείται ότι στην περιοχή αυτή έχουμε μια πιθανή μετασεισμική δραστηριότητα, με ένα μέγιστο στις 23 Μαρτίου. Αυτός ο τύπος σεισμών φανερώνει ότι το υλικό στη συγκεκριμένη περιοχή είναι εξαιρετικά ετερογενές και η κατανομή των εξωτερικών

ΠΙΝΑΚΑΣ ΙΙ

Μηχανισμοί γένεσης σεισμών 16ης και 23ης Μαρτίου 1983

Date		1983, 16/3	1983, 23/3	
Depth		1±3	1±5	
Magnitude		5.4	5.3	
Geographic coordinates	φ _N	38.79	38.78	
	λ _E	20.93	20.89	
Axis B	trend	8°	355°	
	plunge	60°	20°	
Plane of action	strike	97°	85°	
	dip	52°	70°	
Plane P	trend	248°	112°	
	plunge	32°	52°	
Plane R	trend	144°	244°	
	plunge	42°	38°	
Vertical Motion		ανάστροφη	κανονική	
Plane (a)	strike	108°	94°	
	dip	60°	20°	
Plane C	trend	106°	87°	
	plunge	10°	4°	
Kind of faulting		αριστερόστροφο	δεξιάστροφο	
Plane (b)	strike	14°	176°	
	dip	88°	86°	
Plane A	trend	198°	187°	
	plunge	50°	70°	
Kind of faulting		δεξιάστροφο	αριστερόστροφο	



τάσεων πολύ συγκεντρωμένη.

Για τον καθορισμό του μηχανισμού γένεσης των δύο λαχυρότερων δονήσεων, χρησιμοποιήθηκε η πρώτη κίνηση των κυμάτων P όλων των σταθμών, που υπάρχουν στο Δελτίο του Διεθνούς Σεισμολογικού Κέντρου (ISC). Για τις πρώτες αποκλίσεις των σταθμών που βρίσκονταν σε απόσταση μικρότερη των 10° , χρησιμοποιήθηκαν καὶ αναγραφές των S.P. καὶ L.P. συνιστωσών.

Στον Πίνακα II φαίνονται οι μηχανισμοί γένεσης των δύο μεγαλύτερων δονήσεων. Τα δεδομένα των κινήσεων των κυμάτων P παρουσιάζονται σε ένα στερεοδιάγραμμα "Ισης επιφάνειας" (προβολή στο νότιο ημισφαίριο). Άν καὶ τα στοιχεία που χρησιμοποιήθηκαν για την επίλυση του μηχανισμού γένεσης δεν είναι αρκετά σαφή, λόγω του μικρού μεγέθους των σεισμών, τα αποτελέσματα θεωρούνται ικανοποιητικά.

Από τα γεωλογικά δεδομένα, το μοντέλο κατανομής των μετασεισμών καὶ τον προσανατολισμό του άξονα B, συμπεραίνεται διτι τα επίπεδα (a) συνιστούν τα ρηξιγενή επίπεδα καὶ για τις δύο δονήσεις. Όπως φαίνεται στο Σχήμα 4, ο κινηματικός άξονας B είναι κατάκόρυφος ($=50^{\circ}$) καὶ ο C (άνυσμα ολίσθησης) έχει διεύθυνση $B106^{\circ}$ καὶ κλίση 10° . Πρόκειται δηλαδή για ένα αριστερόστροφο ρήγμα οριζόντιας μετατόπισης. Το είδος αυτό της κινήσης, συμφωνεῖ με την μετατόπιση που παρατηρήθηκε στις εδαφικές διαρρήξεις. Σχετικά με τη δεύτερη δόνηση, ο μηχανισμός γένεσης (Σχήμα 5) έδειξε επίσης οριζόντια κίνηση. Το άνυσμα ολίσθησης έχει διεύθυνση $B87^{\circ}$ καὶ κλίση 4° . Καὶ στους δύο σεισμούς το επίπεδο των τάσεων έμεινε περίπου σταθερό, αλλά παρατηρήθηκε αναστροφή των αξόνων P καὶ T.

Για τον υπολογισμό το μήκος του ρήγματος, L, χρησιμοποιήθηκε ο τύπος του Housner (1969) (βασισμένος σε υπάρχοντα στοιχεία από την Κεντρική Αμερική).

$$L=1.82 \cdot 10^{-2} M$$

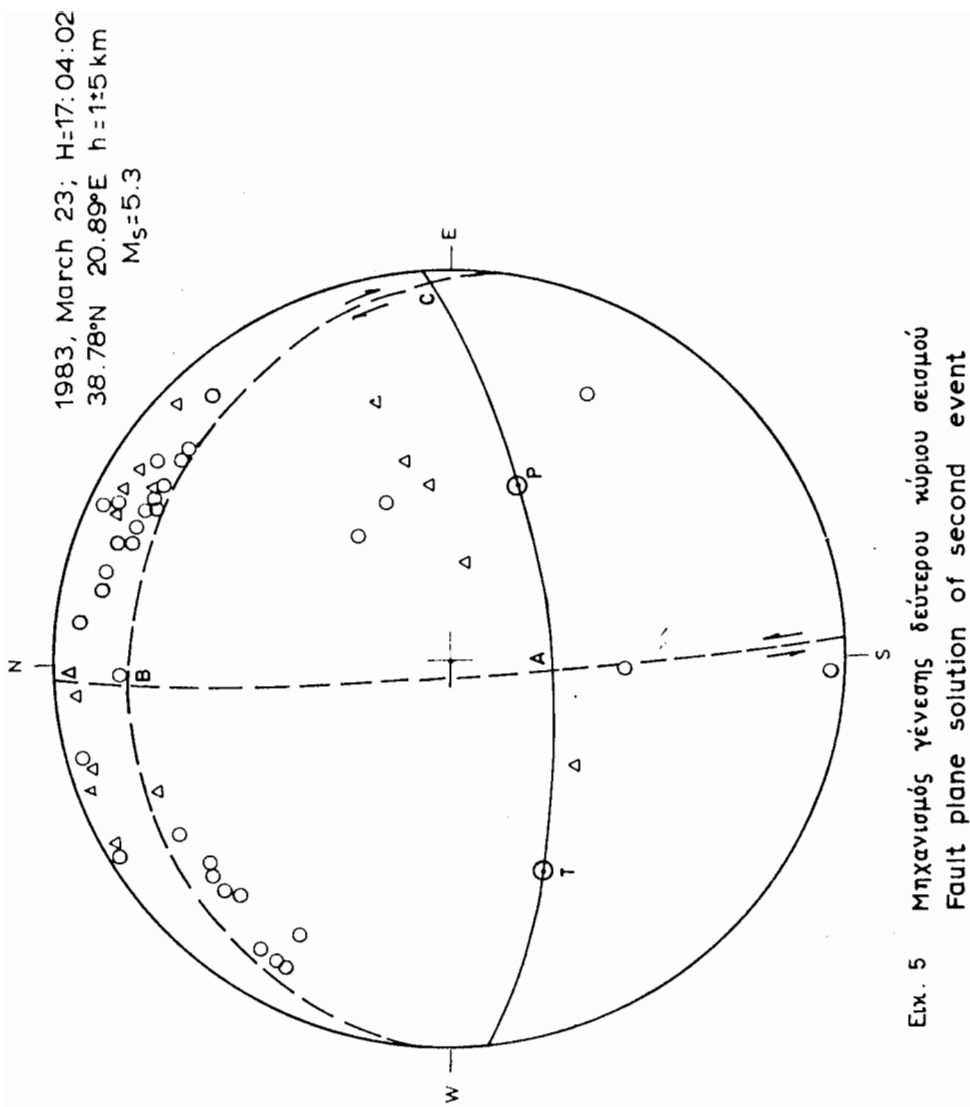
Για τον πρώτο σεισμό, $M_s=5.4$ το μήκος υπολογίσθηκε σε $L=6.5$ km ενώ για το δεύτερο $M_s=5.3$, το $L=5.9$ km.

Το μήκος της επιφανειακής διάρρηξης 1, καὶ η μέγιστη μετατόπιση, D, υπολογίσθηκαν με βάση τους τύπους του Bonilla (1970).

$$\log D = 0.86 \log 1 - 0.46$$

$$\log D = 0.57M - 3.39$$

Οι τιμές που προσδιορίσθηκαν για τον πρώτο σεισμό είναι $D=14.8$ cm καὶ $l=2.4$ km ενώ για τον δεύτερο $D=14.2$ cm καὶ $l=2.4$ km.



Σύμφωνα με πρόσφατη μελέτη των KIRATZI et al. (1985), για τον υπολογισμό του μήκους του ρήγματος L , στον Ελληνικό χώρο ισχύει ο τύπος :

$$\log L = 0,61 \text{ Ms} - 2.55 \quad (\text{για } \text{Ms} > 5.8)$$

Εφαρμόζοντας τον τύπο αυτό, βρίσκουμε για τον πρώτο σεισμό ($\text{Ms} = 5.4$) $L = 5.55 \text{ km}$ και για τον δεύτερο ($\text{Ms} = 5.3$) $L = 4.82 \text{ km}$.

5. ΣΥΜΠΕΡΑΣΜΑΤΑ

Η περιοχή που επηρεάστηκε από τους σεισμούς Μαρτίου-Απριλίου 1983, χαρακτηρίζεται από απότομη και κλιμακωτή μορφολογία καταλαμβάνεται δε από σχηματισμούς του υπόβαθρου που είναι έντονα διερρηγμένοι. Το γεωλογικό-τεκτονικό αυτό πλαίσιο, οι πρόσφατοι χαλαροί σχηματισμοί που πληρούν τις λεκάνες και η δημιουργία ή ανάδραση των ρηγμάτων κατά τη διάρκεια του Τεταρτογενούς προσδίδουν ιδιαίτερη αστάθεια και δικαιολογούν την εκδήλωση συχνών σεισμών. Ειδικώτερα τα ρήγματα που διατέμνουν την ευρύτερη περιοχή μπορούν να ταξινομηθούν σε δύο κύρια συστήματα, με διεύθυνσεις Α.ΒΑ-Δ.ΝΔ και Β.ΒΔ-Ν.ΝΑ.

Η κατανομή των σεισμών δείχνει διεύθυνση Α-Δ με μεγαλύτερη συγκέντρωση των επικέντρων στο νότιο τμήμα της περιοχής Παλαίρου-Σκλάβαινας και στα ίχνη των γραμμών διάρρηξης και επώθησης.

Η πρόσφατη σεισμική δραστηριότητα, που καταγράφηκε και μελετήθηκε, υποδηλεί περισσότερο σεισμούς μιάς μετασεισμικής ακολουθίας, χαρακτηριστικά δε των σεισμών αυτών μικρού μεγέθους θεωρούνται η επιφανειακή διάρρηξη, τα δευτερογενή φάινόμενα και η διαμόρφωση καταστροφικών εντάσεων σε πολύ στενή περιοχή.

Ο πρώτος κύριος σεισμός συνδέεται στενά με την επιφανειακή διάρρηξη και η ανάλυση του μηχανισμού γένεσης (αριστερόστροφο ρήγμα οριζόντιας μετατόπισης) συμφωνεί απόλυτα με τις παρατηρήσεις υπαίθρου (γεωμετρικά στοιχεία επιφανειακής διάρρηξης). Ο δεύτερος σεισμός έχει επίσης οριζόντια κίνηση, αντίθετης όμως φοράς που οφείλεται πιθανά στην αλλαγή των τάσεων αμέσως μετά τον πρώτο σεισμό.

Ο αθροιστικός συνδυασμός των κινήσεων αυτών, που αντιπροσωπεύουν ανάδραση των προϋπαρχόντων νεοτεκτονικών ρηγμάτων, μπορεί να θεωρηθεί υπεύθυνος για την εξέλιξη της περιοχής Παλαίρου-Σκλάβαινας.

Η στενή σχέση που βρέθηκε μεταξύ των αποτελεσμάτων του μηχανισμού γένεσης και των υπαίθριων παρατηρήσεων, δικαιολογεί και επιβάλλει την αναγκαίότητα έρευνας προς την κατεύθυνση αυτή, ακόμη και

στην περίπτωση σεισμών μικρού μεγέθους.

ΒΙΒΛΙΟΓΡΑΦΙΑ

- BONILLA, M.G., 1970. Surface faulting and related effects. Earthquake Engineering, R.L.Wiegel, ed., Prentice-Hall Inc., Englewood Cliffs, N.J., Chap. 3.
- B.P. Co LTD, 1971. The geological results of petroleum exploration in Western Greece. Institute of Geology and Mineral Exploration, Series in Geology of Greece, n°10, Athens.
- DELIBASIS, N., MAKRIS, J., 1986. Crustal structure in Western and Southern Greece from deep seismic sounding (in press).
- DRAKOPPOULOS, J., DELIBASIS, N., 1974. On the mechanism of some earthquakes in the area of Western Greece and the stress producing them. Proceedings of the 13th European Seismological Committee, Special Issue of Technical and Economical Studies, Bucharest, D-Series Geophysical Prospecting, 10, 169-192.
- HOUSNER, G.W., 1969. Engineering estimates of ground shaking and maximum earthquake magnitude. Proceedings 4th World Conference Earthquake Engineering, Santiago, Chile, 1,A-1.
- KIRATZI, A., KARAKAISIS, G., PAPADIMITRIOU E. and PAPAZACHOS,B., 1985. Seismic Source Parameter Relations for earthquakes in Greece. PAGEOPH., vol. 123.
- KOYKΗΣ, Γ., PONTΟΓΙΑΝΗ, Θ., 1983. Σεισμοτεκτονικές παρατηρήσεις στο ΒΔ τμήμα της περιοχής Αιτωλοακαρνανίας (Δ. Ελλάδα) με το σεισμό της 23.3.84. 'Εκθεση, ΙΓΜΕ, Αθήνα.
- MAKROPOULOS, K., 1978. The statistics of large earthquake magnitude and an evaluation of Greek Seismicity. Ph.D. Thesis, Edinburgh, Univ., 193 pp.